



ЛИТОХИМИЯ В ДЕЙСТВИИ: ПОГУРЕЙ-2002



Д. г.-м. н.
Я. Э. Юдович
yudovich@geo.komisc.ru



К. г.-м. н.
И. В. Козырева
kozyreva@geo.komisc.ru



С.н.с.
М. П. Кетрис
yudovich@geo.komisc.ru



К. г.-м. н.
И. В. Швецова
litgeo@geo.komisc.ru

Предисловие-1, или непонятная экспедиция

В 2002 г. И. В. Козырева сформировала геологический отряд, выколотила из начальства новенький вездеход с лучшим водителем — молодым Лешей Калмыковым, прихватила с собой доктора ЭЮЯ и трех студентов и отправилась на Полярный Урал, в верховье р. Погурей. Этот район не только географически был весьма удален от места ее прежних исследований (хр. Малдынырд и Росомаха в верховье Кожима на Приполярном Урале), но вдобавок не имел ничего общего с Кожимским районом и в отношении геологии.

В самом деле, на Кожиме (в бассейне р. Балбанью) уже ряд лет изучался межформационный контакт между рифейско-вендинским метаморфическим комплексом доуралид и палеозойским комплексом уралид, представленным здесь только ордовиком [4, 9]. Район находится в пределах Центрально-Уральского поднятия, где обнаженный фундамент (те самые доуралиды) занимают большие площади.

Район верховья Погурея находится в пределах Западной структурной зоны Урала, более того, это — весьма проблематичная в геологическом отношении восточная часть Лемвинской структурно-фацевальной зоны, по стратиграфии которой в течение многих лет не утихают яростные споры геологов. Основную головную боль геологов вызывают развитые здесь вулканогенные и вулканогенно-осадочные толщи. Часть из них легко сопоставляется с широко распространенной на севере Урала вулканогенной и вулканогенно-осадочной маныинской свитой (впоследствии разделенной на существенно карбонатно-сланцевую моронинскую свиту внизу и базальт-риолитовую саблегорскую свиту вверху). Но другие вулканогенно-осадочные толщи, нередко черносланцевые, находятся в близком соседстве с легко узнаваемой в поле и заведомо ордовикской пестроцветной грубинской свитой O_1 ; это создает сильный соблазн трактовать их как ордовикские.

Поэтому при изучении такого рода толщ постоянно возникает сакраментальный вопрос: это рифей-вендинский (либо, на худой конец, вендин-кембрийский?) фундамент, т. е. комплекс доуралид, или же это все-таки низы палеозоя, т. е. комплекс уралид? От решения этого коренного вопроса в решающей степени зависит прогноз полезных ископаемых. Ведь на Приполярном Урале практически все перспективные проявления полезных ископаемых связаны именно с межформационным контактом [9].

Создается впечатление, что только очень смелый человек может разобраться во взаимоотношениях (по большей части тектонических!) многочисленных осадочных и вулканогенно-осадочных толщ, имеющих к тому же нередко похожие названия: кокпельская вулканогенная свита (фундамент R_3 — Σ ; недавно идентифицирована М. А. Шишким как молюдовская свита того же возраста, а ранее принималась нередко за ордовик [8]); погурейская свита Σ_3 ?— O_1 pg с конгломератами в основании [16]; грубинская свита O_1 [16] (с вулканитами или без?); молюдмусюрская вулканогенно-осадочная свита В. Н. Гессе [5] (кембрий?!); молюдовская вулканогенно-осадочная свита (R_3 — Σ , как принимает в последнее время М. А. Шишким, ордовик, как нередко считали раньше, или просто вулканогенная фаунция грубинской свиты, как считает Н. В. Лютиков [10]); молюдшорская черносланцевая свита O_2 — O_3 [2] (вулканогенно-осадочная или нет?); «старые добрые» харотская (S) и пагинская (D_2 — D_3) свиты великого К. Г. Войнов-

ского-Кригера [16], наконец только что придуманные московскими геологами, нашедшими конодонты, «черногорская серия» (O_2 — D_3 fm), объединяющая в единую толщу тектонические пакеты молюдшорской, харотской и пагинской свит [1] ... Да тут сам черт ногу сломит, геохимикам на территории с такой геологией делать вроде бы нечего.

Какой уж тут межформационный контакт — со свитами одного ордовика были бы хоть какая-то ясность...

В общем, трудно себе представить районы, больше отличающиеся друг от друга по своей геологии, чем Кожимский и Погурейский. А так как необъятного объятья не только нельзя, но и не нужно, то казалось совершенно непонятным, зачем докторантка Козырева вдруг отправилась на далекий и совершенно ей незнакомый Погурей.

Предисловие-2, или «не счесть алмазов в каменных пещерах»

И никогда бы нам не видеть далекого Погурея, если бы Б. А. Голдин и Ю. И. Рябков не опубликовали в 1999 г. в трудах XIII Геологического съезда Республики Коми сенсационный доклад с геологической схемой хорошо известного геологам-съемщикам разреза в каньоне правого притока Погурея — Погурей-Егарты [7]. Разрез действительно замечательный (почти 100%-ная обнаженность на протяжении более 7 км, практически вкрест простирации толщ), но зато трактовок стратиграфии здесь столько же, сколько геологов посещало этот разрез. Однако Голдина и Рябкова привлек не разрез сам по себе — они описали здесь целый букет открытых ими и никому до того неведомых полезных ископаемых: фосфоритов, графита, «сепиолитов» и наконец, самое главное, «метабокситов» кристобалит-кианит-диаспор-корундового состава!



Ради фосфоритов, графита и даже загадочных «сепиолитов» мы бы, пожалуй, не тронулись с места, но — *диаспориты*... Этого мы уже вынести никак не могли! Ведь диаспоровые породы уже много лет изучаются нами на хр. Малдынырд и тревожат душу своим загадочным генезисом [4, с. 275]. Поскольку они здесь, безусловно, находятся на межформационном контакте [9], всем известный (бывший воркутинский, а ныне сыктывкарский) геолог, первооткрыватель месторождения коренного золота Чудное В. С. Озеров прямо называл их метабокситами [11]. Хотя нам (по некоторым признакам) ближе трактовка их как метасоматических образований [6], но в одном мы были единодушны с Озеровым: *раз обнаружилось всего второе на севере Урала проявление диспоритов — мы просто обязаны его посетить*. Если и здесь имеется межформационный контакт (как смело предположил Озеров, в корне переинтерпретировав не только карту Голдина—Рябкова, но и геологическое строение всего Пага—Харутинского междуречья, включая изуренный скважинами участок месторождения золота Дальнее [12]), то это позволит нам среди прочего внести свой вклад в крайне запутанную геологию восточной части Лемвинской зоны. А заодно, быть может, прояснит генезис и наших малдинских диаспоритов.

Итак, мы собрали рюкзаки и отправились на Погурей — за диаспоритами!

Профиль

Погурей-Егарта — правый приток р. Погурей, впадающий в него в 15 км от устья (т. е. от впадения Погурея в Пагу). Его долина, местами каньонообразная, ориентирована субширотно — вкрест простирации выходящих толщ фундамента и ордовика—девона. В самом верховье Погурея можно видеть в обнажениях восточный тектонический контакт толщ Лемвинской зоны с зоной ГУГР — Главного Уральского глубинного разлома, который на огромном протяжении вдоль всего севера Урала маркируется цепочкой базит-гипербазитовых интрузий.

Если исключить небольшой необнаженный интервал в нижнем течении Погурей-Егарта (500 м от устья), то фактически обнажения по обоим берегам (но больше по правому) тянутся с перерывами на протяжении около 10 км от устья (рис. 1). Во всяком случае наше пикетирование через 100 м, начиная от точки в 500 м от устья ручья (пикет 0),

закончилось на пикете 720, но обнаженность еще, возможно, не кончилась (зато кончились силы у пикетчиков!).

В 3 км к югу от устья Погурей-Егарта располагается господствующая горная вершина этого района — г. Сев. Кокпела с abs. отметкой 707.2 м, которая почему-то названа геологами ГИНа В. А. Аристовым и С. В. Руженцевым «Черной». По их данным, гора сложена тремя тектоническими пластинами черносланцевых толщ, имеющих, по найденным ими конодонтам, возраст $O_2—S_1$, $S—D_1$ и D_{2-3} , объединенных ими в «черногорскую серию». Очевидно, это не что иное, как давно известные харотская (в ее современном понимании, т. е. с верхами ордовика [16]) и пагинская свиты. К сожалению, ужасная погода в июле 2002 г. с самого начала загнала нас в цейтнот, так что мы вынуждены были ограничиться изучением только профиля Погурей-Егарта, а на гору так и не полезли. Однако в 2 км к ЮВ от устья Погурей-Егарта вдоль правого берега Погурея на протяжении метров 500 тянется высотка со скальными обнажениями черных сланцев, названная нами «Димины горы», поскольку эти породы послужили предметом курсовой работы студента Д. Тихоновича. Судя по картам К. Г. Войновского-Кригера и всех последующих геологов, включая москвичей [1], это не что иное, как непосредственное продолжение полосы «черногорской серии», «языка», которой далее к северу даже достигает каньона Погурей-Егарта (рис. 2). Так что, не посетив гору Черную, мы ничего не потеряли, опробовав черносланцевую толщу в гораздо более доступном для изучения месте.

На рис. 3 представлен итог нашей работы — профиль по Погурей-Егарту, отстроенный в результате комплексной интерпретации материалов из трех источников: полевого описания (сплошь и рядом ошибочного, о чем геологи всегда стыдливо умалчивают!), изучения шлифов и прото-



Рис. 1. Снежники в русле Погурей-Егарта.
Начало июля 2002 г.

лочек и литохимической диагностики, т. е. интерпретации данных силикатных анализов. По нашему глубокому убеждению, основанному на многолетнем опыте [15], только третье (правда, в сочетании с двумя первыми!) позволяет правильно определить горную породу.

В табл. 1 и на рис. 4 показана та литохимическая основа, на которой построен профиль — *модульная диаграмма* в координатах «ГМ (гидролизатный модуль) — сумма щелочей» [15, с. 116]. Для выделения кластеров, т. е. групп близких пород, для которых возможно усреднение, использовались и другие (вспомогательные) мо-

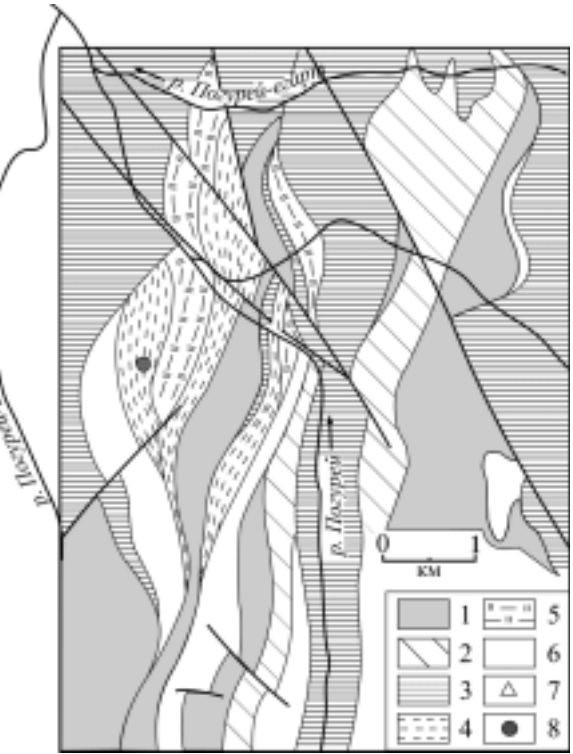


Рис. 2. Обзорная карта района Пага—Погурей.
По В. А. Аристову и С. В. Руженцеву [1],
с упрощениями и дополнениями.
1 — погурейская свита ($E_3—O_1t$); 2 — кокпельская свита ($E_3?—O_1t$); 3 — грубенинская свита (O_1a); 4—6 — черногорская серия ($O_2—D_3fm$): 4 — $O_2—S_1$, 5 — $S—D_1$, 6 — D_{2-3} ; 7 — местонахождение базового лагеря отряда И. В. Козыревой; 8 — г. Сев. Кокпела (у В. А. Аристова и С. В. Руженцева — г. Черная)



дульные диаграммы, которые здесь не приводятся*. Процедура кластеризации приводит к распадению исходного множества анализов на два подмножества — *кластеры*, т. е. средние составы, и отдельные *составы вне кластеров*, не подлежащие усреднению вследствие существенных отличий отдельных параметров (например, карбонатности — содержания CO₂, или титанистости — значения титанового модуля TM, и т. д.) [15, с. 141].

Модульные диаграммы

Обычно мы изображаем и кластеры, и «составы вне кластеров» (табл. 2) на единой модульной диаграмме. Но в данном случае таких составов так много, что это загромоздило бы рис. 4, поэтому для них дана отдельная модульная диаграмма — рис. 5.

Итак, в табл. 1, 2 и на рис. 4, 5 даны средние и индивидуальные составы *литотипов* и отвечающих им *хемотипов*; однако два литотипа в табл. 1 удается по комплексу признаков подразделить на две разновидности. Иногда разновидности оказываются одноименными хемотипами (например, два кластера псевдогидролизаты (номера 10 и 11)).

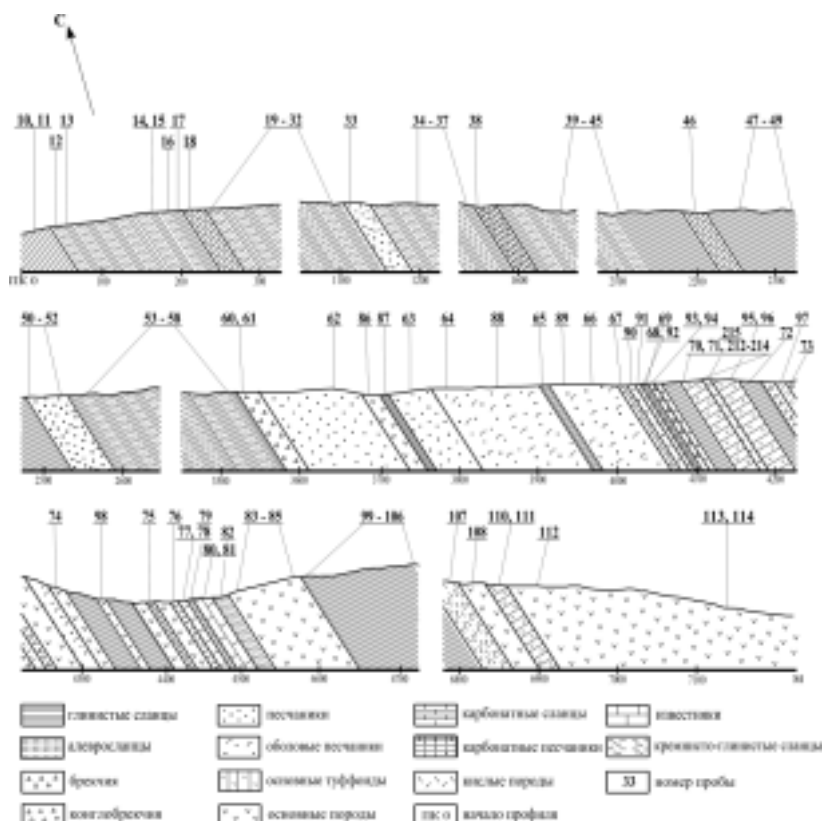


Рис. 3. Схематический геологический разрез по руч. Погурей-Егарт

Таблица 1

Средний химический состав горных пород из разреза по ручью Погурей-Егарт, %

Компоненты и модули	Кластеры											
	Ia	Ib	Ic	IIa	IIb	IIc	ID	IIIa	IIIb	IIIc	IVa	IVb
	Диабазы	Основные туффоиды	Туффоиды	Глинистые сланцы		Черные глинистые сланцы	Карбонатные сланцы	Песчаники		Алевросланцы		Кварцевые песчаники
n	6	3	2	4	23	2	2	2	7	3	2	2
SiO ₂	50,21	52,41	56,56	59,70	61,53	59,08	58,70	72,56	65,84	63,99	85,13	81,66
TiO ₂	1,22	0,97	1,04	0,97	0,98	0,98	0,89	0,59	0,87	0,99	0,45	0,29
Al ₂ O ₃	16,36	18,22	19,04	15,74	16,02	18,83	14,00	10,38	14,31	14,75	5,60	5,43
Fe ₂ O ₃	4,71	3,72	3,28	2,92	2,50	1,58	1,77	2,38	2,10	2,20	1,35	1,22
FeO	5,95	9,74	5,21	5,70	5,54	5,24	4,60	3,47	4,84	4,57	3,48	2,41
MnO	0,18	0,20	0,15	0,40	0,27	0,13	0,36	0,33	0,30	0,18	0,09	0,43
FeO	7,22	3,55	3,05	3,65	3,08	2,67	2,28	2,48	2,85	2,69	0,99	1,37
CaO	3,31	0,40	0,23	1,40	0,60	0,38	4,82	1,01	0,62	0,59	0,17	2,00
Na ₂ O	3,45	0,81	1,39	1,45	1,92	2,02	1,43	1,08	1,59	1,65	0,41	0,62
K ₂ O	1,17	4,14	5,42	2,38	2,96	4,02	3,60	1,26	2,63	3,78	0,80	0,72
P ₂ O ₅	0,19	0,15	0,14	0,11	0,12	0,09	0,21	0,08	0,10	0,29	0,06	0,04
П.п.п.	5,84	5,53	4,62	4,92	4,41	4,79	7,02	3,38	3,89	3,84	1,81	3,48
Сумма	99,79	99,85	100,10	99,32	99,94	99,78	99,68	98,97	99,95	99,54	100,32	99,65
C _{опр}		0,18	0,18		0,21	0,20				0,15		0,14
CO ₂	0,77	0,19	0,19	1,06	0,30	0,01	3,63	0,53	0,85	0,10	0,11	1,50
ГМ	0,57	0,63	0,51	0,43	0,41	0,45	0,37	0,24	0,34	0,35	0,13	0,12
ФМ	0,36	0,33	0,21	0,21	0,19	0,16	0,15	0,12	0,15	0,15	0,07	0,07

Примечание: n — количество образцов

* Заметим, что гидролизатный модуль ГМ имеет *генетический смысл* только для осадочных пород и параметаморфитов. Для пород изверженных вместо него лучше использовать *фемический модуль* ФМ [15, с. 127]. Однако, поскольку на рис. 4 и 5 показаны составы как изверженных, так и осадочных пород, для экономии места мы ограничились диаграммой с ГМ, учитывая, что процедура кластеризации от этого не меняется.



досиаллитов в литотипе «глинистые сланцы»), иногда разными (например, гипосиаллиты и щелочные нормосиаллиты, на которые распадается литотип «калевросланцы» — (кластеры III_b и III_c). Таким образом, в данном случае «литологическая реальность» оказывается богаче «литохимической реальности» — 10 литотипов против 7 хемотипов, однако мы знаем и примеры обратного свойства, когда геохимик может выделить разновидности, которые литолог не различал [15, с. 172]. В данном случае геохимик берет реванш в табл. 2, где появляются

такие экзотические хемотипы, как сиферлиты, псевдосиферлиты и алкалиты [15, с. 214, 243].

Молюдовожская свита R₃—E (или V—E?)

К этой свите мы, вслед за рядом предшественников, относим эфузивные и пирокластические породы основного и кислого составов.

Базиты и их дериваты — апобазитовые сланцы и туффоиды

Это три кластера I a, b, c в табл. 2 и на рис. 4, а также 14 образцов — 83, 84, 95, 107, 109, 110, 111, 213, 214, 219,

221, 223, 229, 233 в табл. 3 и на рис. 5. Кроме того, мы располагаем также анализами 11 образцов методом РФА. Ввиду того, что этот анализ (искусственно подгоняющий сумму к 100 %) может давать значительные ошибки, мы не использовали эти данные в литохимической процедуре (т. е. в табл. 2, 3 и на рис. 4 и 5). Однако «в окружении» достаточного количества хороших силикатных анализов *аналогичных пород*, сделанных надежным «мокрым» методом, данные РФА также можно использовать — хотя бы в целях грубой диагностики пород. Эти породы на профиле встре-

Таблица 2

Химический состав горных пород из разреза по ручью Погурей-Егарт (вне кластеров), %

Компоненты и модули	Составы вне кластеров													Риолиты и апоапориолитовые сланцы	
	83	84	95	110	111	208	213	214	219	221	223	229	233		
	Псевдо-сиаллит	Щел. псевдо-сиаллит	Псевдо-гидролизат	Псевдо-сиаллит	Щел. псевдо-гидролизат	Псевдо-сиаллит	Щел. сиферлит	Псевдо-сиаллит	Карб. псевдо-гидролизат	Карб. псевдо-сиферлит	Карб. псевдо-гидролизат	Щел. псевдо-сиаллит	Псевдо-сиаллит	Алкаллит	Щел. нормосиллит
SiO ₂	50,96	48,02	44,90	58,50	51,52	38,66	57,56	58,12	37,40	41,88	37,56	53,92	46,04	72,46	71,64
TiO ₂	1,01	0,81	2,11	0,90	1,15	0,97	1,41	1,01	1,82	1,31	0,88	1,28	1,18	0,20	0,76
Al ₂ O ₃	13,02	13,87	14,18	14,13	18,96	17,84	13,01	14,37	15,04	13,69	9,76	16,05	12,83	14,18	13,45
Fe ₂ O ₃	5,50	4,76	12,87	4,64	2,36	6,04	15,38	6,26	10,62	7,44	5,74	3,35	7,44	0,26	1,38
FeO	4,78	4,34	2,89	5,12	7,00	10,25	0,70	2,75	3,03	3,65	2,64	3,09	2,94	0,42	1,18
MnO	0,190	0,170	0,220	0,210	0,140	0,290	0,070	0,190	0,280	0,270	0,310	0,160	0,200	0,000	0,066
MgO	6,26	4,98	5,11	3,44	4,23	8,37	1,96	4,54	7,43	5,72	3,82	6,91	7,77	0,10	1,22
CaO	9,20	7,74	5,82	4,39	1,43	11,30	1,67	2,95	8,86	9,99	18,62	3,47	8,14	0,40	1,47
Na ₂ O	3,02	3,57	2,44	3,26	4,97	0,88	0,51	0,45	0,66	2,39	2,11	4,49	2,85	1,99	4,08
K ₂ O	0,29	2,44	1,49	0,68	2,44	0,21	4,49	3,04	2,93	1,32	0,71	0,74	0,40	9,16	2,56
P ₂ O ₅	0,150	0,130	0,170	0,310	0,300	0,460	0,210	0,170	0,210	0,190	0,140	0,300	0,180	0,034	0,110
П.п.п.	5,67	9,44	7,25	4,35	4,82	4,39	3,10	5,58	10,98	11,03	16,99	5,48	9,11	0,65	2,29
Сумма	100,05	100,27	99,45	99,93	99,32	99,66	100,07	99,43	99,26	98,88	99,28	99,24	99,08	99,85	100,21
C _{opt}			0,11												
CO ₂	2,17	5,80	3,51	0,02	0,05	0,11	0,48	1,10	5,65	6,96	13,96	1,56	5,35	0,25	0,57
ГМ	0,48	0,50	0,72	0,43	0,57	0,92	0,53	0,42	0,82	0,63	0,51	0,44	0,53	0,21	0,24
ФМ	0,33	0,30	0,47	0,66	0,47	0,65	0,31	0,24	0,57	0,41	0,33	0,25	0,40	0,01	0,05
ТМ	0,078	0,058	0,149	0,064	0,061	0,054	0,108	0,070	0,121	0,096	0,090	0,080	0,092	0,014	0,057
ЩМ	10,41	1,46	1,64	4,79	2,04	4,19	0,11	0,15	0,23	1,81	2,97	6,07	7,13	0,22	1,59

Окончание табл. 2

Компоненты и модули	Составы вне кластеров													Фтаниты	
	107	132	232	18	38	51	63	66	67	89	90	94	98	215а	
	Щел. миосилилит	Псевдо-сиаллит	Гипосиаллит	Нормосилилит	Миосилилит	Щел. миосилилит	Карб. щел. псевдо-сиаллит	Карб. нормосилилит	Щел. сиаллит	Нормосилилит	Нормосилилит	Суперсиаллит	Суперсиаллит	Нормосилилит	
SiO ₂	70,76	68,98	67,74	57,88	68,48	71,64	65,06	48,54	56,32	45,14	79,04	75,04	89,16	89,50	80,20
TiO ₂	0,71	0,65	0,81	0,70	0,36	0,55	0,65	0,75	0,25	0,66	0,82	0,53	0,24	0,14	0,35
Al ₂ O ₃	11,59	10,86	12,90	11,55	6,33	11,69	12,43	12,92	5,47	11,64	8,80	10,01	4,63	3,42	6,56
Fe ₂ O ₃	2,34	2,24	3,94	6,73	1,14	3,11	1,79	2,52	0,37	1,76	1,00	3,75	0,31	0,58	1,38
FeO	2,67	5,52	4,00	1,43	2,55	3,24	2,17	2,87	0,81	2,33	1,38	0,83	0,41	1,00	2,42
MnO	0,056	0,340	0,040	0,190	0,470	0,250	0,063	0,100	0,400	0,100	0,030	0,046	0,050	0,022	0,370
MgO	1,94	3,29	2,37	2,48	1,50	2,53	1,34	1,65	0,40	1,64	1,60	1,10	0,30	0,30	1,98
CaO	1,08	1,08	0,22	6,98	8,28	0,45	3,96	12,20	18,30	16,27	1,58	1,79	0,79	1,14	2,15
Na ₂ O	2,72	1,24	0,18	0,53	0,52	1,53	1,16	0,55	1,90	0,78	2,05	0,73	1,48	0,63	0,70
K ₂ O	2,38	1,52	4,67	3,52	1,23	1,63	5,61	5,25	0,59	4,51	2,11	3,18	0,83	0,98	0,75
P ₂ O ₅	0,075	0,140	0,110	0,120	0,056	0,076	0,160	0,170	0,023	0,160	0,090	0,094	0,024	0,470	0,040
П.п.п.	3,12	4,13	3,10	7,80	8,59	2,87	4,99	12,02	15,01	15,34	2,30	2,84	1,04	1,41	3,30
Сумма	99,44	99,99	100,08	99,91	99,51	99,57	99,38	99,54	99,84	100,33	100,80	99,94	99,26	99,59	100,20
C _{opt}	0,36	0,23			0,020										
CO ₂	0,05	0,26	0,11	4,75	6,74	0,05	2,62	9,57	14,54	12,57	0,70	0,86	0,52	0,05	1,26
ГМ	0,25	0,28	0,32	0,36	0,16	0,26	0,26	0,39	0,13	0,37	0,15	0,20	0,06	0,06	0,14
ФМ	0,10	0,17	0,15	0,19	0,08	0,13	0,08	0,15	0,04	0,13	0,05	0,08	0,01	0,02	0,08
ТМ	0,061	0,060	0,063	0,061	0,057	0,047	0,052	0,058	0,046	0,057	0,093	0,053	0,052	0,041	0,053
ЩМ	1,14	0,82	0,04	0,15	0,42	0,94	0,21	0,10	3,22	0,17	0,97	0,23	1,78	0,64	0,93

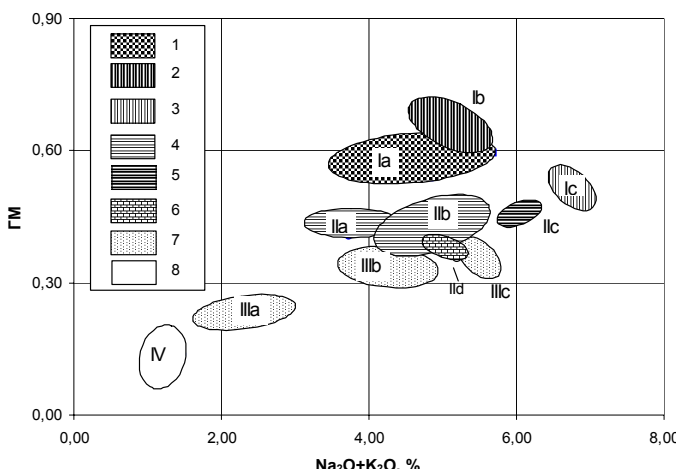


Рис. 4. Модульная диаграмма горных пород из разреза по руч. Погурей-Егарт.

1 — диабазы; 2 — основные туффоиды; 3 — туффоиды; 4—6 — сланцы: 4 — глинистые, 5 — черные глинистые, 6 — карбонатные; 7 — песчаники и алевролитовые сланцы; 8 — силикиты

ченены в интервалах 4100—4600 м, а также значительно восточнее — в районе 6900 м. Конечно, это дело свободного выбора — относить ли их к молюдовожской (или к кокпельской) свите фундамента, или, по Н. В. Лютикову, к вулканогенно-осадочной молюдовожской фации грубоинской свиты. Литохимия такие вопросы не решает: для этого надо найти хоть какую-нибудь ракушку или конодонтика в осадочном прослое — это бы решило вопрос отнесения их к ордовику. Поскольку фауны не найдено и нет данных изотопного датирования, никто нам не запрещает, вслед за многими геологами, считать базальтоиды и их дериваты образованиями рифей-вендинского (или венд-кембрийского?) фундамента. Заметим, что если в интервале 4100—4600 м базальтоиды находятся в близком соседстве с песчаниками (скорее всего погурейскими, O₁pg), а также с пестроцветными грубоинскими сланцами O₁gr (что и создает соблазн отнесения базальтоидов к ордовику!), то в восточных выходах они ассоциируются с туфогенными черными сланцами и небольшими прослойями мраморовидных известняков. Такая ассоциация для ордовика невозможна, зато является совершенно обычной для бедамельской свиты R₃ на Полярном Урале [4, с. 192] или для ее аналога на Приполярном Урале — моройнской свите R₃ [4, с. 37].

Характерный состав имеет черный сланец (обр. 107), находящийся в тесной ассоциации с диабазовыми туфами. В шлифе эта порода определяется как гли-

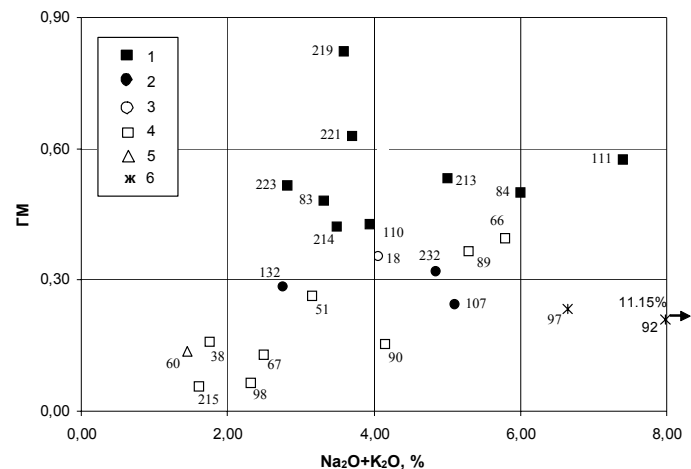


Рис. 5. Модульная диаграмма горных пород из разреза по руч. Погурей-Егарт.

1 — базиты, апобазитовые сланцы, основные туффоиды; 2 — кремнисто-глинистые сланцы; 3 — карбонатные сланцы; 4 — песчаники и карбонатные песчаники; 5 — фтаниты; 6 — риолиты и апориолитовые сланцы

нисто-кремнистый сланец, а по анализу видно, что это явный туффоид, содержащий около 25 % нормативного плагиоклаза и более 28 % фенита и хлорита, а также примесь эпидота (около 3 %).

В среднем же отличие туффоидов (клuster Ib) от диабазов (клuster Ia) состоит в несколько меньшей фемичности (фемический модуль, ФМ, 0.33 против 0.36), несколько большей общей щелочности и заметно пониженной титанистости (титановый модуль, ТМ, 0.053 против 0.075), в гораздо меньшем содержании MgO и CaO. Весьма значительно различие в соотношении щелочей: диабазы — породы натровые (щелочной модуль, ЩМ, 2.9), а туффоиды — калиевые (ЩМ 0.2). Соответственно в нормативном минеральном составе сильно отличаются содержания плагиоклаза (~7 против ~35 %, причем в туффоидах плагиоклаз получается очень кислым) и фенита (35 против ~10 %).

Еще сильнее от состава диабазов отклоняются калиевые туффоиды клустера Ic: если бы не «родимое пятно» — слегка повышенная магнезиальность, заставляющая атtestовать их как псевдосиаллиты, эти породы, иногда имеющие вид черных сланцев, можно было бы принять за нормальные глинистые сланцы. Доминирующими нормативными минералами здесь являются фенит (~47 %) и кварц (~21 %) при значительно меньшем содержании хлорита (~14 против 28—30 % в первых двух клустерах).

Наиболее замечательными образованиями в молюдовожской толще являются породы двух типов:

— туфоконгломераты — «жерловая фация»;

— красные («керамические») гематитовые сланцы, которые и были, очевидно, ошибочно приняты ранее за дипаспориты [7].

Туфоконгломераты образуют небольшой слой в обнажении, более или менее согласный с вмещающими породами грубоинского облика. В поле их легко принять за нормальные осадочные породы, что и было сделано А. И. Водолазским в 1958 г., и «логично» отнести к погурейской свите. Выходы их на бечевнике правого берега Погурей-Егарт тянутся на протяжении 15 м. Обломки габбро и диабазов разной степени окатанности, размером от долей сантиметра до 3×5 см имеют красный (гематит), зеленый (хлорит) и серый (серцит и карбонат) цвета (рис. 6). Цементирующая масса в них также имеет диабазовый состав и представлена мелкогалечным конгломератом (рис. 7).

Красные звонкие «керамические» сланцы находятся в непосредственном соседстве с туфоконгломератами и, очевидно, представляют собой различные продукты гематитизации, серцитизации и карбонатизации интрузивных габбро и/или излившихся базальтов. Для них характерно высокое содержание железа ($Fe_2O_3 + FeO$ от 9 до 16 %), вследствие чего некоторые из них атtestуются как сиферлиты (железный модуль, ЖМ, более 0.75). Они либо сильно слюдистые (обр. 213—214, содержащие 26—30 % нормативного фенита), либо заметно карбонатные (обр. 95, 221, 223,



Рис. 6. Диабазовые туфоконгломераты «жерловой фации» на правом берегу р. Погурей-Егарт.
Фото Я. Э. Юдовича

содержащие 10—20 % нормативного карбоната). В тяжелой фракции из протолочки обр. 222 найдено четыре знака золота довольно разнообразной формы — в виде удлиненных пластинок, изометричных зерен и дендритов. Эта интересная находка показывает, что вся эта ассоциация «жерловой фации», т. е. туфоконгломераты и сопровождающие их звонкие «керамические» красные сланцы, может быть золотоносной. Во всяком случае нейтронно-активационный анализ обр. 221 показал 51 мг/т Au, обр. 95 — 31 мг/т. Эти содержания в 10—15 раз превышают кларк золота в земной коре.

Риолиты и их дериваты — кислые туфы и апориолитовые сланцы

Следует признать, что у нас с этими породами (как и у многих наших предшественников, никогда в том не признававшихся!) получился конфуз: в поле мы «видели» гораздо больше «риолитов», чем их оказалось на самом деле, т.е. по шлифам и анализам. Большинство цветных (красных, зеленых, пятнистых) «риолитов» оказались сливными кварцитами... Достоверно установлены кислые эфузивы в непосредственной близости от туфоконгломератов (отчего у нас и был сильнейший соблазн назвать и звонкие «керамические» красные гематитовые сланцы дериватами риолитов — ведь именно так выглядят малдинские диаспориты!). Имеются ли кислые эфузивы и их туфы в других местах профиля — пока не очень ясно. На карте Голдина-Рябкова показана широкая полоса «туфлитов ордовика» в интервале примерно 3.0—3.5 км от устья Погурей-Егарт; скорей всего это грубинские алевросланцы, туффоидную природу которых допускал еще К. Г. Войновский-Кригер.

Пока что анализов заведомых риолитов так мало, что мы не можем даже сформировать кластера риолитов (см. табл. 2). Отметим лишь, что среди этих кислых пород есть и существенно полевошпатовые (обр. 92 — больше 50 % нормативного ортоклаза), атtestуемые как алкалиты. Если бы не вполне типовая риолитовая структура, такой состав можно было бы принять за щелочную породу — трахит.

Кроме того, в явном риолитовом туфе (обр. 97) имеются обломки осадочных пород — кварцитовидного песчаника и какого-то сланца. Поскольку в рифейском фундаменте кварциты известны только в маньх-

ков, которые скорее всего образуют среднюю пачку погурейской свиты. На картах А. И. Водолазского [2], Б. А. Голдина и Ю. И. Рябкова [7] эти песчаники отнесены к ордовику, а на новейшей карте геологов ГИНа [1] — на самом ручье никаких песчаников вообще не показано. Впрочем, нельзя исключить, что это более молодые, девонские песчаники. Во всяком случае, на старой (1943 г.) карте К. Г. Войновского-Кригера и И. Н. Сулимова [2] в интервале 2.5—3 км от устья Погурей-Егарт показана полоса пагинской свиты девона, которая всегда опознавалась только по наличию песчаников. Эта полоса тянется на юг и выходит выше устья ручья (где мы в самом деле среди черных кремнистых сланцев наблюдали и несколько пластов песчаников). Однако следует заметить, что в Лемвинской зоне зеленые кварцитовидные песчаники известны и в харбейшорской свите ($O_{2-3}ehs$), лежащей непосредственно на грубинской [16].

В итоге мы принимаем трактовку А. И. Водолазского и считаем выходы песчаников в каньоне ордовикскими — отчасти погурейскими, а отчасти, может быть, харбейшорскими (определений брахиопод у нас, к сожалению, пока нет).

Полевошпат-слюдисто-кварцевые и карбонатные песчаники

Это кластеры IIIa, IIId, обр. 38, 51, 61, 63, 66—67, 89—90, 94, 98.

Кварцитовидные песчаники (кластер IIIa) имеют гранобластовую структуру, сложены кварцем (58 %), кислым плагиоклазом и фенитом (по ~10 %), содержат много хлорита (~16 %). Среди песчаников есть разновидности, часто имеющие вид сланцев: слюдисто-карбонатные (кластер IIId, содержащий 31 % фенита и около 8 % карбоната), мало-слюдистые карбонатные (обр. 38, 15 % карбоната) и субаркозовые карбонатные (обр. 67, около 17 % плагиоклаза и 33 % карбоната). В этих разновидностях карбонат образует раскристаллизованный базальный цемент.

Особенно интересны разновидности, переполненные карбонатными раковинами брахиопод (указание о повышенном содержании в них фосфора [7]

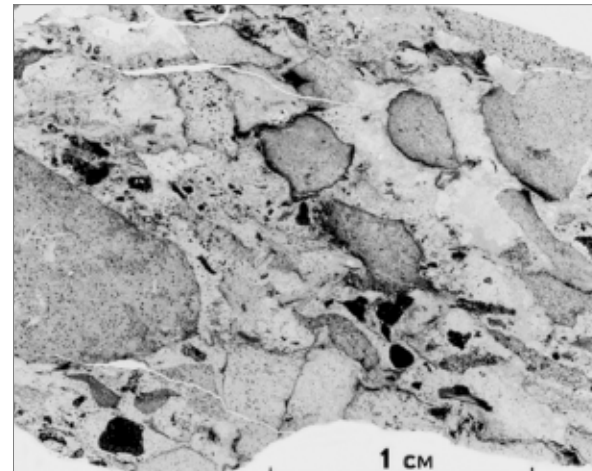


Рис. 7. Базальтовый туф с литокластической структурой и обломочной текстурой. Обр. 233а из кол. студента-дипломника М. М. Афонькина, снимок без анализатора

бейинской ($R_1(?)mhb$) и хобейинской (R_3hb) свитах, такой состав туфа создает соблазн омоложения возраста риолитов — отнесения их, например, к девону (?!). Впрочем, других оснований для такой «смелой» трактовки пока не видно.

Погурейская свита E_3 — O_1pg

К сожалению, легко узнаваемых полимиктовых погурейских конгломератов в каньоне Погурей-Егарт нет, следовательно, нет и самых низов погурейской свиты. Однако имеется довольно мощная пачка кварцитовидных песчаников и алевролитов, в том числе весьма замечательных брахиоподовых песчани-



не подтвердилось), например такие, как обр. 66 и 89. По существу это брахиоподовые банки (рис. 8).

Под микроскопом видно, что створки раковин брахиопод размером до 1×0.5 см, чаще $(0.3-0.5) \times (0.2-0.3)$ см, сложенные микрозернистым карбонатом, погружены в хлорит-слюдистый матрикс (43—49 %), содержащий примесь зерен кварца (18—21 %) и плагиоклаза (5—7 %).

Грубеинская свита O_{1gr}

Выходы легко узнаваемых в поле сланцев грубеинской свиты образуют обширные поля в интервалах 0—3600 м от начала профиля и далее от 4700 м почти до самого конца.

Красные и зеленые глинистые сланцы и алевросланцы

Это кластеры IIa, b и частично IIIb и образцы, проанализированные методом РФА: 16, 24, 26, 27, 29, 31, 32, 35—37, 56, 76, 99—101, 104—106, 224, 226 — глинистые сланцы; 11, 13—15, 21, 23, 34, 39, 40, 53, 55, 102, 103, 105, 212, 215a, 220 — алевросланцы.

Состав этих сланцев чрезвычайно однообразен и отвечает двум очень близким разновидностям псевдосиаллитов: а) несколько более кварцевой карбонатсодержащей (кластер IIa, в нормативном составе которого около 37 % кварца и около 3 % карбоната), б) несколько более полевошпатовой, бескарбонатной (кластер IIb, содержащий около 17 % плагиоклаза против ~12 % в кластере IIa). Наиболее кварцевые разновидности грубеинских сланцев попадают в кластер IIIb, где их, к сожалению, только по химическому составу нельзя отличить от некоторых черных кремнисто-глинистых сланцев молудшорской свиты (см. ниже). Грубеинские породы иногда рассечены кварцевыми жилами. Так, алевросланцы, ассоциирующиеся с апобазитовыми сланцами и туффоидами (в интервале 4190—4200 м), разбиты многочисленными согласными и секущими кварцевыми прожилками мощностью от 1 до 20 см. В одной из таких прожилок было обнаружено два знака золота, по морфологии несколько отличающиеся от того, что было найдено в «керамических» сланцах: одна золотина (размером 0.1 мм) представлена шестиугольной пластинкой (кристалл, уплощенный по грани октаэдра), другая (размером до 0.15 мм) — ярко-желтым «губчатым» зерном. Как было установлено еще

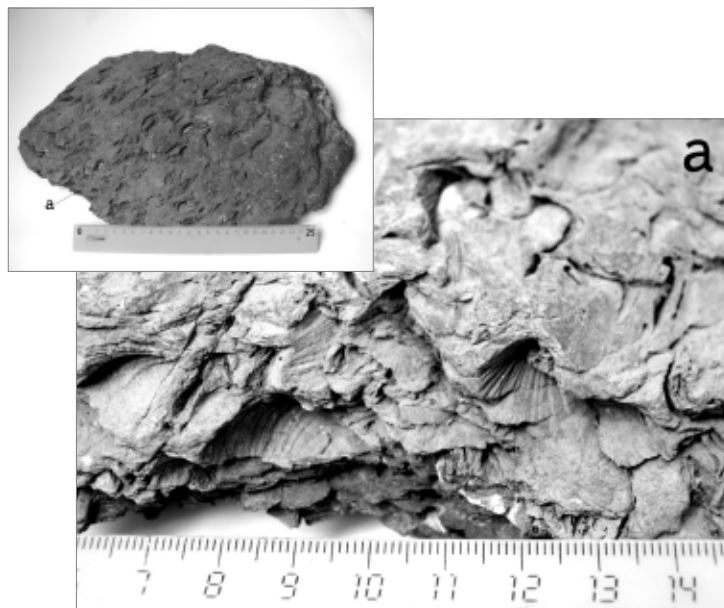


Рис. 8. Брахиоподовая банка. Обр. 66, пр. берег руч. Погурей-Егарт, в 4 км от устья. Фото С. И. Плосковой

много лет назад К. Г. Войновским-Кригером, красная окраска грубеинских сланцев (которую часто именуют лиловой или вишневой) обусловлена наличием дисперсного гематита или гетита, а зеленая — присутствием хлорита, а также (как это теперь стало ясно) зеленоватого фенгита. Все геологи, работавшие в Лемвинской зоне, отдали дань объяснению причин частого чередования в разрезе зеленых и красных сланцев. Ближе всех к истине, по-видимому, оказался М. А. Шишкин, давший ультрасовременное толкование в терминах тектоники плит: красные сланцы — это *фоновые окисленные глубоководные осадки*, а зеленые — *аллохтонные восстановленные осадки*, периодически забрасываемые в батиаль с шельфа турбидными потоками [16, с. 24].

Молудшорская (O_{2-3 ms}) и харотская (S₁—D_{1hr}) черносланцевые свиты

Эти толщи развиты главным образом на правобережье Погурея выше устья Погурей-Егарта, но отчасти прослеживаются и в нашем каньоне, где, вероятно, образуют тектонические клинья в поле грубеинской свиты. Различить их невозможно, и поэтому есть свой резон в предложении московских геологов объединить эти черносланцевые толщи в единую «черногорскую серию».

Черные сланцы

Это глинистые (кластер IIc), алевроглинистые и кремнисто-глинистые сланцы (часть кластера IIIb

и кластер IIIc, обр. 132, 232); фтаниты (кластер IVb, обр. 60); известняки (обр. 77, 78, 80, 81).

Здесь перед литохимией встает трудная проблема, можно сказать, бросающая нам вызов: как отличить алевросланец от кремнисто-глинистого сланца, если они могут быть настолько близки по составу (сиаллиты), что попадают в один кластер? То, что проблема действительно актуальна, ясно каждому геологу: ведь биогенно-хемогенные *кремнистые породы-силицизы* — важный индикатор условий седиментации и, в частности, глубоководных [14]. Однако если массивный фтанит (силицит) легко отличить от кварцевого песчаника (псаммита) по микроструктуре, то шлифы черных сланцев доказательной информации, увы, не дают. Мы наблюдаем в них микрополосчатую сильно пигментированную «фельзитоподобную» существенно кварцевую микромелкозернистую ткань, которая вполне может быть и алевролитом, и отчасти перекристаллизованным силицитом. Лишь находка радиолярий или губок могла бы помочь, но никакой кремневой фауны в шлифах не видно. Все же литохимия дает некоторую подсказку: если нормативный расчет показывает много плагиоклаза (например, в обр. 132 около 11 % нормативного плагиоклаза), то это скорее всего алевросланец. Если же при примерно одинаковом содержании кварца в пробе доминируют хлорит и фенгит (обр. 232 — 51 против 23—28 %),



то это, вероятно, кремнисто-глинистый сланец.

Что касается известняков, встречающихся на профиле примерно в 4500 м от начала, то мы условно относим их к харотской свите, поскольку ни в каких других лемвинских свитах древнее D₃ известняков нет. Эти породы содержат 19—34 % нерастворимого остатка, имея чисто кальцитовый состав со слегка повышенным содержанием MnO (до 0.49 %) и с околокларковым содержанием Sr (180—580 г/т).

Пагинская свита D₂—D₃¹ pg

При отсутствии определений конодонтов единственный критерий для выделения пагинской свиты — это присутствие пластов кварцевых песчаников. В то же время другие литотипы пагинской свиты (такие, как черные алевросланцы или кремнисто-глинистые сланцы) могут внешне ничем не отличаться от харотских. Вообще, пагинская свита — пример исключительного «кварцевства» природы: дело в том, что, как это установил еще сам К. Г. Войновский-Кригер, в терригенных пагинских песчаниках (материал которых был заброшен с шельфа на континентальный склон и подножие в период девонской регрессии [16]) имеется аутигенная кремнистая примесь!

Кварцевые песчаники

Породы кластера IVa аттестуются как нормосилиты и содержат около 77 % нормативного кварца, почти 11 % хлорита и около 6 % слюды. Цемент в песчаниках бывает двойского рода: либо поровый слюдисто-хлоритовый, либо базальный серицит-кремнистый (!). В этом случае как раз вполне возможно, что кремнистый материал цемента был аутигенным и биогенным.

Некоторые выводы

В профиле по руч. Погурей-Егарт выходят, как установили наши предшественники, осадочные, вулканогенно-осадочные и вулканогенные толщи возрастом от верхнего рифея до верхнего девона.

1. Характер межформационного контакта уралиды/доуралиды здесь неясен, так как границы между базальтоидами и риолитами молюдовской свиты и отложениями погурейской и груbbeинской свит здесь скорее всего тектонические. И хотя погурейскую свиту (E₃?—O₁pg) Лемвинской зоны сопоставляют по возрасту с алькесвожской толщой (E₃—O₁al) Центрально-Уральского поднятия [12], история развития этих двух регионов существенно различалась. Если алькесвожская толща является голотипом *ледигенной формации* [4, с. 112], то погурейская свита к ней не относится.

2. Нами не обнаружено никаких признаков древних кор выветривания в зоне межформационного контакта и не найдено диаспорсодержащих глиноземистых пород [7]. Возможность пропустить их мы исключаем ввиду детального характера пройденного нами профиля. Наиболее похожие внешне на малдинские диаспориты красные «керамические» сланцы оказались диабазовыми слюдисто-карбонатно-гематитовыми туффоидами с признаками повышенной золотоносности.

3. Весьма проблематичным является положение в разрезе брахиоподовых песчаников. Эти явно мелководные образования контрастируют с большинством глубоководных лемвинских толщ [16].

4. Характер толщи, выходящей вблизи линии контакта с гипербазитами (черные глинисто-кремнистые сланцы-туффоиды, базальтовые туффоиды, известняки), вполне аналогичен бедамельской свите (R₃bd) Полярного Урала и моройнской свите (R₃mr) — Приполярного.

5. На материалах уникального разреза по руч. Погурей-Егарт литохимическая методика в очередной раз доказала свою высокую эффективность для изучения толщ сложного состава и спорного генезиса. Особенно полезна литохимия для диагностики пород с примесью пирокластики — туффоидов. Остальные проблемы (в частности, различие алевроглинистых сланцев от кремнисто-глинистых), как можно надеяться, будут решены в дальнейшем, при более детальных и целеустремленных исследованиях.

Литература

1. Аристов В. А., Руженцев С. В. Стратиграфия сланцево-кремнистых и вулканогенно-осадочных отложений палеозоя и история геологического развития Полярного Урала // Стратиграфия. Геологическая корреляция, 2000. Т. 8. № 2. С. 9—18.
2. Водолазский А. И., Гуренчук Г. П., Рапп Э. М. и др. Геологическое строение территории листов Q-41-54-В (г), Г (в, г), 55-В (в, г), 66-А (б, в, г), Б, В (б), Г (а, б), 67-А (а, в), В (а): Отчет Кокпельской ГПСП о геологической съемке м-ба 1:50000 по работам 1965—67 гг. Воркута, 1968. 267 с.
3. Войновский-Кригер К. Г. Ордовик Лемвинской фациальной структурной зоны // Бюл. МОИП. Отд. геол., 1960. Т. 35. Вып. 3. С. 51—68.
4. Геохимия древних толщ севера Урала / Отв. ред. академик Н. П. Юшкин; ред.-сост. Я. Э. Юдович и М. П. Кетрис. Сыктывкар: Геопринт, 2002. 333 с.
5. Гессе В. Н. Новые данные по стратиграфии древних толщ Лемвинской структурно-фациальной зоны // Матер. по геол. и полезн. ископ. Северо-Востока европ. части СССР. Вып. 2. Москва: Госгеотехиздат, 1963.
6. Глиноземистые и железистые породы Приполярного Урала / И. В. Козырева, Я. Э. Юдович, И. В. Швецова и др. Екатеринбург: УрО РАН, 2003. 102 с.
7. Голдин Б. А., Рябков Ю. И. Пагинско-Верхнепогурейская метабоксит-графит-фосфорит-сепиолитовая формация Полярного Урала // Геология и минеральные ресурсы северо-востока России: новые результаты и новые перспективы. Материалы XIII Геол. съезда Респ. Коми. Т. IV. Сыктывкар: Геопринт, 1999. С. 22—23.
8. Государственная геологическая карта Российской Федерации. Масштаб 1:200000 (новая серия). Лист Q-41-XIX, XX (принят к изданию в 2001 г.).
9. Зона межформационного контакта в каре оз. Грубепендиты / Я. Э. Юдович, Л. И. Ефанова, И. В. Швецова и др. Сыктывкар: Геопринт, 1998. 96 с.
10. Лютиков Н. В., Котельников В. Г., Кузьмин М. И. Информационный отчет по объекту «Геологическое доизучение м-ба 1:50000 Кокпельской площади на территории листов Q-41-54-В (г), Г (в, г), 55-В (б, в, г), 65-Б (г), 66-А (б, в, г), 66-Б и групповая геологическая съемка м-ба 1:50000 на площади листов Q-41-54-В (б), Г (а, б), 55-В (а) с общими поисками. Воркута, 1995. 186 с.
11. Озеров В. С. Метаморфизованные россыпи золота Приполярного Урала // Руды и металлы, 1996. № 4. С. 28—37.
12. Озеров В. С., Озерова Э. Н. Составление карты масштаба 1:500000 закономерностей размещения и прогноза полезных ископаемых, связанных с межформационной границей уралид (в пределах Республики Коми). Сыктывкар, 2003. С. 28—29.
13. Шишкин М. А. Геология зоны сочленения Елецких и Лемвинских фаций на западном склоне Полярного Урала: Автореф. дис. ... канд. геол.-мин. наук. Сыктывкар, 2003. 20 с.
14. Юдович Я. Э., Кетрис М. П. Геохимия черных сланцев. Л.: Наука, 1988. 272 с.
15. Юдович Я. Э., Кетрис М. П. Основы литохимии. СПб: Наука, 2000. 479 с.
16. Юдович Я. Э., Шишкин М. А., Лютиков Н. В., Кетрис М. П., Беляев А. А. Геохимия и рудогенез черных сланцев Лемвинской зоны севера Урала. Сыктывкар: Пролог, 1998. 340 с.